

PME 3481 – Controle e Aplicações

Diagramas de Bode e Compensadores

Prof. Dr. Flávio Celso Trigo

Os métodos de resposta em frequência foram desenvolvidos nas décadas de 1930–1950 por pesquisadores como Nyquist, Bode e Nichols, entre outros. Basicamente, constituem-se em ferramentas de avaliações do comportamento de sistemas dinâmicos quando submetidos a sinais periódicos, algo comum em diversas aplicações reais. Os métodos de resposta em frequência complementam as análises de transitório. Veja-se um exemplo: um sistema de controle de posicionamento deve, quando solicitado a uma entrada em degrau unitário, apresentar baixo overshoot, tempo de acomodação dentro de certos limites e tempo de subida estabelecido. No entanto, tal sistema é afetado também por uma perturbação proveniente de suas fundações. Uma maneira de estabelecer a influência de tais perturbações sobre a resposta dinâmica do sistema é efetuar uma varredura de frequências até que se determine quais frequências e harmônicos provocam as maiores amplitudes de vibrações. Assim, pode-se redimensionar tais fundações de modo a obter o menor efeito possível.

Os métodos de resposta em frequência apresentam as seguintes vantagens sobre outros métodos de análise já estudados:

- não é necessária a obtenção de raízes da equação característica;
- podem ser utilizados para levantar características do sistema por testes simples com equipamentos baratos e precisos;
- podem ser utilizados na *identificação* de sistemas;
- a metodologia é extensível também a sistemas não lineares.

1 Saídas em regime permanente para entradas senoidais

Seja, no diagrama da fig. 1, a função de transferência

$$\frac{C(s)}{R(s)} = F(s) = \frac{G(s)H(s)}{1 + G(s)H(s)} \quad (1.1)$$

estável, linear e invariante no tempo e sujeita a uma entrada $r(t) = A \sin(\omega t)$. A saída $c(t)$ pode ser obtida como se segue:

$$\mathcal{L}[r(t)] = \mathcal{L}[A \sin(\omega t)] = \frac{A\omega}{s^2 + \omega^2} \quad (1.2)$$

$$\text{com } F(s) = \frac{N(s)}{\prod_{k=1}^n (s + p_k)} \implies \quad (1.3)$$

$$C(s) = \frac{A\omega}{s^2 + \omega^2} F(s) = \frac{A\omega}{s^2 + \omega^2} \frac{N(s)}{\prod_{k=1}^n (s + p_k)} \quad (1.4)$$

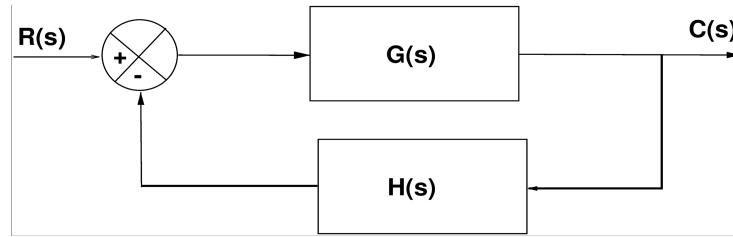


Figura 1: Diagrama de blocos de um sistema genérico em malha fechada

A expansão em frações parciais conduz a

$$C(s) = \frac{A\omega}{s^2 + \omega^2} \frac{N(s)}{\prod_{k=1}^n (s + p_k)} = \frac{a_1}{s + j\omega} + \frac{a_2}{s - j\omega} + \frac{b_1}{s + p_1} + \frac{b_2}{s + p_2} + \dots + \frac{b_n}{s + p_n} \quad (1.5)$$

A resposta no tempo é obtida com a transformação inversa de Laplace:

$$\mathcal{L}^{-1}[C(s)] = c(t) = a_1 e^{-j\omega t} + a_2 e^{j\omega t} + b_1 e^{-p_1 t} + b_2 e^{-p_2 t} + \dots + e^{-p_n t} \quad (1.6)$$

Porém, como por hipótese, o sistema é *estável*, quando entra em regime (isto é, $t \rightarrow \infty$), todos os termos $b_k e^{-p_k t}$ tendem a zero. Assim, a resposta em regime fica

$$c(t) = a_1 e^{-j\omega t} + a_2 e^{j\omega t}, \quad (1.7)$$

que, como se nota, depende *apenas da entrada periódica*. Prosseguindo na análise, devem-se calcular os resíduos a_1 e a_2 nos pólos $\pm j\omega$. Pelos métodos já estudados, pode-se escrever:

$$a_1 = F(s) \cdot (s + j\omega) \frac{A\omega}{(s + j\omega)(s - j\omega)} \Big|_{s=-j\omega} = -\frac{A}{2j} F(-j\omega) \quad (1.8)$$

$$a_2 = F(s) \cdot (s - j\omega) \frac{A\omega}{(s + j\omega)(s - j\omega)} \Big|_{s=j\omega} = \frac{A}{2j} F(j\omega) \quad (1.9)$$

Nota-se que a_1 e a_2 são complexos conjugados (representa-se $a_2 = \bar{a}_1$). Lembrando ainda que $F(j\omega)$ e $F(-j\omega)$ são números complexos e, portanto, podem ser escritos em termos de módulo e fase, tem-se:

$$F(j\omega) = |F(j\omega)| \angle F(j\omega) = |F(j\omega)| e^{j\phi} \quad (1.10)$$

$$F(-j\omega) = |F(-j\omega)| \angle F(-j\omega) = |F(j\omega)| e^{-j\phi} \quad (1.11)$$

$$\text{onde } \text{tg}\phi = \frac{\text{Im}(F(\pm j\omega))}{\text{Re}(F(\pm j\omega))} \quad (1.12)$$

Voltando à s eq. 1.8 e 1.9,

$$a_1 = -\frac{A}{2j} |F(-j\omega)| e^{-j\phi} = -\frac{A}{2j} |F(-j\omega)| [\cos(-\phi) + j\text{sen}(-\phi)] \implies \quad (1.13)$$

$$a_1 = -\frac{A}{2j} |F(-j\omega)| [\cos(\phi) - j\text{sen}(\phi)] \quad (1.14)$$

$$a_2 = \frac{A}{2j} |F(j\omega)| e^{j\phi} = \frac{A}{2j} |F(j\omega)| [\cos(\phi) + j\text{sen}(\phi)] \implies \quad (1.15)$$

$$a_2 = -\frac{A}{2j} |F(j\omega)| [\cos(\phi) + j\text{sen}(\phi)] \quad (1.16)$$

A resposta temporal fica, de acordo com a eq. 1.7,

$$c(t) = -\frac{A}{2j} |F(-j\omega)| e^{-j\phi} e^{-j\omega t} + \frac{A}{2j} |F(j\omega)| e^{j\phi} e^{j\omega t} \implies (1.17)$$

$$c(t) = \frac{A}{2j} |F(j\omega)| [-e^{-j(\omega t + \phi)} + e^{j(\omega t + \phi)}] \implies (1.18)$$

$$c(t) = \frac{A}{2j} |F(j\omega)| [-(\cos(-\omega t - \phi) + j.\text{sen}(-\omega t - \phi)) + \cos(\omega t + \phi) + j.\text{sen}(\omega t + \phi)] \implies (1.19)$$

$$c(t) = \frac{A}{2j} |F(j\omega)| . 2j.\text{sen}(\omega t + \phi) \implies c(t) = A |F(j\omega)| \text{sen}(\omega t + \phi) \quad (1.20)$$

Da demonstração acima conclui-se que:

1. a *amplitude* de resposta $A|F(j\omega)|$ é proporcional à entrada e ao módulo da função de transferência calculada em $s = \pm j\omega$;
2. a resposta é *senoidal* com *frequência idêntica* à frequência de excitação, $w \text{ rad/s}$;
3. a *fase* da resposta difere da fase da excitação ϕ graus. Quando $\phi > 0$, ocorre *avanço de fase*, ao passo que se $\phi < 0$, há *atraso de fase*.

Genericamente, para $r(t) = A \text{sen}(\omega t + \gamma)$ e $c(t) = B \text{sen}(\omega t + \beta)$,

$$\frac{c(t)}{r(t)} = \frac{B \text{sen}(\omega t + \beta)}{A \text{sen}(\omega t + \gamma)} = \quad (1.21)$$

$$\frac{B e^{j(\omega t + \beta)}}{A e^{j(\omega t + \gamma)}} \quad (1.22)$$

$$\therefore \frac{c(t)}{r(t)} = \frac{B}{A} e^{j(\beta - \gamma)} = F(j\omega) \quad \text{com} \quad (1.23)$$

$$|F(j\omega)| = \frac{B}{A} \quad \text{e} \quad \phi(F(j\omega)) = \angle F(j\omega) = \beta - \gamma \quad (1.24)$$

Exemplo: determinar a resposta do sistema representado pela FT $F(s) = \frac{6}{s+4}$ quando submetido à entrada $r(t) = 3 \cos(7t + 20^\circ)$.

Em primeiro lugar, calcula-se $F(j\omega)$,

$$F(s = j7) = \frac{6}{j7 + 4} = |F(j7)| e^{j\phi} = 0,74 e^{-j60^\circ}$$

Por analogia com $r(t) = A \text{sen}(\omega t + \gamma)$ e $c(t) = B \text{sen}(\omega t + \beta)$, tem-se:

$$A = 3 \quad \omega = 7 \text{ rad/s} \quad \gamma = 20^\circ$$

Com isso, a resposta $c(t)$ fica,^[1]:

$$\text{amplitude de } c(t) \quad B = A \cdot |F(j7)| = (3) \cdot (0,74) = 2,22$$

$$\text{fase de } c(t) \quad \beta = \phi + \gamma$$

$$\text{como } \gamma = 20^\circ \quad \text{e} \quad \phi = -60^\circ \implies \beta = 20^\circ + (-60^\circ) = -40^\circ$$

$$\therefore \quad c(t) = 2,22 \cos(7t - 40^\circ)$$

Verifica-se que, para uma entrada periódica (cosseno), a saída é também periódica e a amplitude depende da frequência ω .

^[1]Lembre-se de que o ângulo de fase em graus mostrado aqui serve apenas o propósito didático. Todos os cálculos com números complexos devem ser efetuados com arcos em **radianos**.

2 Diagrama de Bode – fundamentos

2.1 Definições

Apresentam-se a seguir algumas definições utilizadas na construção do Diagrama de Bode e na análise no domínio da frequência.

1. Amplitude normalizada

$$A(\omega) \triangleq \frac{\text{amplitude da saída senoidal}}{\text{amplitude da entrada senoidal}} = |F(s = j\omega)| \quad (2.1)$$

2. Fase

$$\phi(\omega) \triangleq \angle F(s = j\omega) = \angle F(j\omega) = \text{tg}^{-1} \left[\frac{\text{Im}(F(\pm j\omega))}{\text{Re}(F(\pm j\omega))} \right] \quad (2.2)$$

3. Decibel (dB)

O decibel (dB) é uma grandeza adimensional que representa a relação entre logaritmos das amplitudes de sinais de saída e entrada. Fisicamente, representa a intensidade sonora mais baixa perceptível pelo ouvido humano.

$$dB \triangleq 10 \log_{10} \left(\frac{\text{amplitude da saída}}{\text{amplitude da entrada}} \right) \quad (2.3)$$

4. Relações de frequências

$$1 \text{ oitava} = 20 \log_{10} \left(\frac{2 \cdot \text{amplitude}}{\text{amplitude}} \right) = 20 \log_{10} 2 \cong 6 \text{ dB} \quad (2.4)$$

$$1 \text{ década} = 20 \log_{10} \left(\frac{10 \cdot \text{amplitude}}{\text{amplitude}} \right) = 20 \log_{10} 10 = 20 \text{ dB} \quad (2.5)$$

2.2 Diagrama de Bode – aspectos gerais

O Diagrama de Bode é um gráfico constituído por duas partes: a primeira parte (ou primeiro diagrama) apresenta as curvas de amplitude $A(\omega)$ em função da frequência à medida que esta é variada entre zero e infinito; a segunda parte (ou diagrama) mostra o ângulo de fase $\phi(\omega)$ em função da frequência.

A escala-padrão de representação da amplitude de $|F(j\omega)|$ é um múltiplo da escala em decibel,

$$A(\omega) = 20 \log_{10} |F(j\omega)| \quad (2.6)$$

A principal vantagem da representação nesta escala é que, como será visto na construção do diagrama, a multiplicação de módulos transforma-se em simples adição de escalares.

A escala de representação do ângulo de fase é linear. Já a escala de frequências (abscissas) é logarítmica, de modo a abranger grandes faixas de variação.

2.3 Diagrama de Bode – fatores básicos na construção do diagrama

A construção do diagrama de Bode de uma função $F(s)$ envolve uma série de procedimentos que podem ser padronizados, quais sejam:

-amplitude e fase de um ganho K

-amplitude e fase de fatores integrais ou derivativos, $s = (j\omega)^{\pm 1}$

-amplitude e fase de fatores de primeira ordem, $(1 + sT)^{\pm 1} = (1 + j\omega T)^{\pm 1}$

-amplitude e fase de fatores de segunda ordem, $(\omega_n^2 / (s^2 + 2\zeta\omega_n s + \omega_n^2))^{\pm 1}$ que, com $s = j\omega$, fica

$$\left[\frac{1}{1 + 2\zeta \frac{\omega}{\omega_n} j + \left(\frac{\omega}{\omega_n} j \right)^2} \right]^{\pm 1}$$

2.3.1 Ganho K

Um ganho K é representado, no plano complexo, por $K = K + j0$. Assim, aplicando-se as equações 2.6 e 2.2 obtém-se

$$A(\omega) = 20 \log_{10} K \text{ dB}$$

$$\phi(\omega) = \text{tg}^{-1} \frac{0}{K} = 0^\circ$$

Portanto, no diagrama de amplitude, o ganho K é representado por uma reta paralela ao eixo das abscissas, com valor positivo se $K > 1$, negativo se $0 < K < 1$ e nulo se $K = 1$ (0 dB). O ângulo de fase é nulo para toda a faixa de frequências. Salienta-se ainda que, caso o ganho seja multiplicado por potências de 10,

$$A(\omega) = 20 \log_{10}(10^n K) = 20(\log_{10} 10^n + 20 \log_{10} K) = 20 \log_{10} K + 20n$$

2.3.2 Fatores integrais e derivativos

Seja $s = j\omega$ (fator derivativo). Aplicando-se as equações 2.6 e 2.2,

$$A(\omega) = 20 \log_{10} |j\omega| = 20 \log_{10} \omega \text{ dB}$$

$$\phi(\omega) = \text{tg}^{-1}\left(\frac{\omega}{0}\right) = 90^\circ \text{ (}\pi/2\text{) rad}$$

Seja, agora, $s = (j\omega)^{-1}$ (fator integral). Aplicando-se as equações 2.6 e 2.2,

$$A(\omega) = 20 \log_{10} \left| \frac{1}{j\omega} \right| = -20 \log_{10} \omega \text{ dB}$$

$$\phi(\omega) = \text{tg}^{-1}\left(\frac{-\omega}{0}\right) = -90^\circ \text{ (-}\pi/2\text{) rad}$$

Observa-se também que, para $s = j\omega$, :

$$\omega = 1 \text{ rad/s} \Rightarrow A(\omega) = 20 \log_{10} 1 = 0 \text{ dB}$$

$$\text{variação de uma oitava: } 20 \log_{10}\left(\frac{2\omega}{\omega}\right) = 20 \log_{10} 2 \cong 6 \text{ dB}$$

$$\text{variação de uma década: } 20 \log_{10}\left(\frac{10\omega}{\omega}\right) = 20 \log_{10} 10 \cong 20 \text{ dB}$$

Por analogia, para $s = (j\omega)^{-1}$

$$\omega = 1 \text{ rad/s} \Rightarrow A(\omega) = -20 \log_{10} 1 = 0 \text{ dB}$$

$$\text{variação de uma oitava: } -20 \log_{10} 2 \cong -6 \text{ dB}$$

$$\text{variação de uma década: } -20 \log_{10} 10 \cong -20 \text{ dB}$$

Conclui-se que os fatores derivativo e integral geram, no diagrama de amplitude, retas cujas inclinações são respectivamente 6 dB/oitava (20 dB/década) e -6 dB/oitava (-20 dB/década); além disso, o ponto ($\omega = 1 \text{ rad/s}$; 0 dB) irá sempre pertencer às respectivas retas. Os ângulos de fase são constantes com valores 90° e -90° , respectivamente. A situação descrita pode ser vista na fig. 2.

Para fatores integrais ou derivativos de multiplicidade n , ou seja, $(j\omega)^{\pm n}$, tem-se,

$$A(\omega) = \pm 20n \text{ dB/década}$$

$$\phi(\omega) = \pm n \frac{\pi}{2}$$

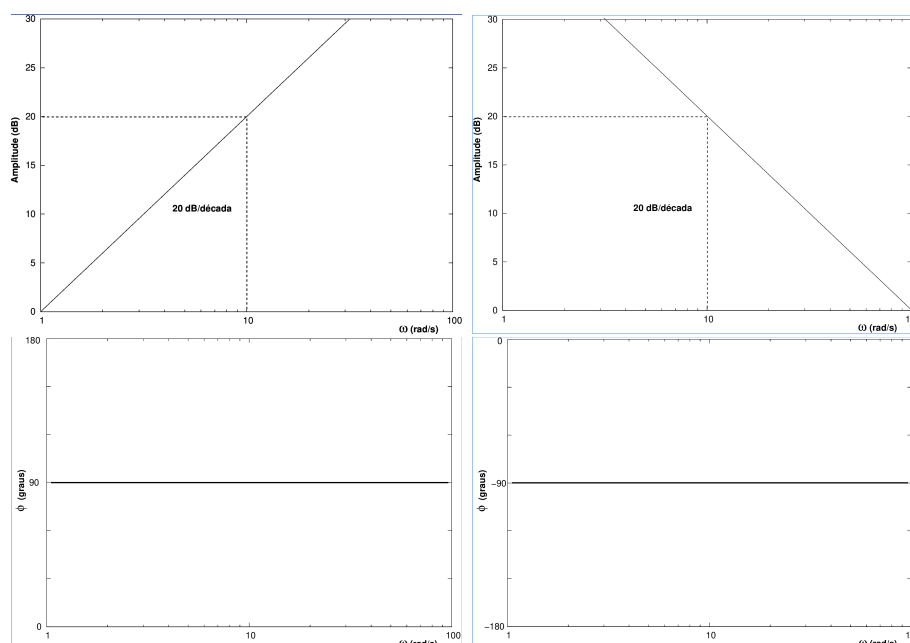


Figura 2: Diagramas de Bode: fatores derivativo e integral.

2.3.3 Fatores de primeira ordem

Fatores de primeira ordem são do tipo

$$(1 + sT)^{\pm 1} \Big|_{s=j\omega} = (1 + j\omega T)^{\pm 1}, \quad (2.7)$$

onde T é a constante de tempo do sistema. Neste caso, o diagrama de Bode é construído tendo como abscissa múltiplos e submúltiplos da constante de tempo.

Seja o fator de primeira ordem $(1 + j\omega T)$. Aplicam-se as equações 2.6 e 2.2:

Amplitude

$$A(\omega) = 20 \log_{10} |1 + j\omega T| = 20 \log_{10} \left(\sqrt{1 + \omega^2 T^2} \right) \quad (2.8)$$

$$\text{para } \omega \ll \frac{1}{T} \implies A(\omega) = 20 \log_{10} 1 = 0 \text{ dB} \quad (2.9)$$

$$\text{para } \omega \gg \frac{1}{T} \implies A(\omega) = 20 \log_{10} \omega T \text{ dB} \quad (2.10)$$

As equações 2.36 e 2.37 são as *assíntotas* à curva real, dada pela eq. 2.35. Dois pontos são

importantes na construção do diagrama de amplitude:

$$A\left(\omega = \frac{10}{T}\right) = 20 \log_{10} 10 = 20 \text{ dB} \quad (2.11)$$

$$A\left(\omega = \frac{1}{T}\right) = 20 \log_{10} 1 = 0 \text{ dB} \quad (2.12)$$

Conclui-se que, para $\omega \leq 1/T$, a amplitude vale 0 dB, ao passo que, para $\omega > 1/T$ a aproximação leva a uma reta com inclinação de 20 dB/década, ou 6 dB/oitava. O valor $\omega = 1/T$ é denominado *frequência de canto*, e representa o ponto a partir do qual a assíntota horizontal passa a inclinada.

Ângulo de fase

$$\phi(\omega) = \angle F(j\omega) = \angle(1 + j\omega T) \quad (2.13)$$

$$\phi(\omega) = \text{tg}^{-1}\left(\frac{\omega T}{1}\right) \quad (2.14)$$

$$\text{para } \omega \ll \frac{1}{T} \implies \phi(\omega) = 0^\circ (0 \text{ rad}) \quad (2.15)$$

$$\text{para } \omega \gg \frac{1}{T} \implies \phi(\omega) = 90^\circ (\pi/2 \text{ rad}) \quad (2.16)$$

$$\text{para } \omega = \frac{1}{T} \implies \phi(\omega) = 45^\circ (\pi/4 \text{ rad}) \quad (2.17)$$

Erro em amplitude

Quando efetua-se a aproximação pelas assíntotas, eqs. 2.36 e 2.37, incorre-se em erro com relação ao valor que seria obtido caso a amplitude fosse calculada de acordo com a expressão exata, eq. 2.35. Em termos práticos, consideram-se os erros existentes no intervalo entre uma oitava acima e uma oitava abaixo da frequência de canto. Assim, subtraindo-se o valor aproximado do exato obtêm-se

$$\text{para } \epsilon(A(\omega))|_{\omega=1/T} \implies \epsilon = 20 \log_{10} \left(\sqrt{1+1}\right) - 20 \log_{10} 1 = 3,03 \text{ dB (freq. de canto)} \quad (2.18)$$

$$\text{para } \epsilon(A(\omega))|_{\omega=2/T} \implies \epsilon = 20 \log_{10} \left(\sqrt{1+4}\right) - 20 \log_{10} 2 = 0,97 \text{ dB (1 oitava acima)} \quad (2.19)$$

$$\text{para } \epsilon(A(\omega))|_{\omega=1/2T} \implies \epsilon = 20 \log_{10} \left(\sqrt{1+\frac{1}{4}}\right) - 20 \log_{10} 1 = 0,97 \text{ dB (1 oitava abaixo)} \quad (2.20)$$

Observa-se que o erro é máximo na frequência de canto e simétrico em relação a ela nas duas direções. Um cálculo simples irá revelar que, para $\omega = 4/T$ (duas oitavas acima) ou $\omega = 1/4T$ (duas oitavas abaixo), o erro é de 0,26 dB, decaindo para 0,04 dB quando se avalia o intervalo de ± 1 década, que pode ser admitido desprezível.

O diagrama de Bode para as aproximações referentes a um fator de primeira ordem no numerador de $F(s)$ (o que representa um zero em $s = -1/T$) pode ser visto nas figuras. 3 (a) e (c).

Considera-se agora o fator de primeira ordem $\frac{1}{1+j\omega T}$. O desenvolvimento é totalmente análogo, levando a resultados que apresentam sinais invertidos em relação ao caso anterior.

Amplitude

$$A(\omega) = 20 \log_{10} \left| \frac{1}{1+j\omega T} \right| = -20 \log_{10} \left(\sqrt{1 + \omega^2 T^2} \right) \quad (2.21)$$

$$\text{para } \omega \ll \frac{1}{T} \implies A(\omega) = -20 \log_{10} 1 = 0 \text{ dB} \quad (2.22)$$

$$\text{para } \omega \gg \frac{1}{T} \implies A(\omega) = -20 \log_{10} \omega T \text{ dB} \quad (2.23)$$

As equações 2.49 e 2.50 são as *assíntotas* à curva real, dada pela eq. 2.48. Neste caso, os dois pontos para a construção do diagrama de amplitude são:

$$A \left(\omega = \frac{10}{T} \right) = -20 \log_{10} 10 = -20 \text{ dB} \quad (2.24)$$

$$A \left(\omega = \frac{1}{T} \right) = -20 \log_{10} 1 = 0 \text{ dB} \quad (2.25)$$

Conclui-se que, para $\omega \leq 1/T$, a amplitude vale 0 dB, ao passo que, para $w > 1/T$ obtém-se uma reta com inclinação de -20 dB/década, ou -6 dB/oitava. Novamente, denomina-se $\omega = 1/T$ como frequência de canto.

Ângulo de fase

$$\phi(\omega) = \angle F(j\omega) = \angle(1 + j\omega T)^{-1} \quad (2.26)$$

$$\text{como } \frac{1}{1 + j\omega T} = \frac{1(1 - j\omega T)}{(1 + j\omega T)(1 - j\omega T)} = \frac{1}{1 + \omega^2 T^2} - j \frac{\omega T}{1 + \omega^2 T^2} \implies \quad (2.27)$$

$$\phi(\omega) = -\text{tg}^{-1} \left(\frac{\omega T}{1} \right) \quad (2.28)$$

$$\text{para } \omega \ll \frac{1}{T} \implies \phi(\omega) = 0^\circ (0 \text{ rad}) \quad (2.29)$$

$$\text{para } \omega \gg \frac{1}{T} \implies \phi(\omega) = -90^\circ (-\pi/2 \text{ rad}) \quad (2.30)$$

$$\text{para } \omega = \frac{1}{T} \implies \phi(\omega) = -45^\circ (-\pi/4 \text{ rad}) \quad (2.31)$$

Erro em amplitude

$$\text{Para } \epsilon(A(\omega)) \big|_{\omega=1/T} \implies \epsilon = -20 \log_{10} \left(\sqrt{1+1} \right) - (-20 \log_{10} 1) = -3,03 \text{ dB (freq. de canto)} \quad (2.32)$$

$$\text{para } \epsilon(A(\omega)) \big|_{\omega=2/T} \implies \epsilon = -20 \log_{10} \left(\sqrt{1+4} \right) - (-20 \log_{10} 2) = -0,97 \text{ dB (1 oitava acima)} \quad (2.33)$$

$$\text{para } \epsilon(A(\omega)) \big|_{\omega=1/2T} \implies \epsilon = -20 \log_{10} \left(\sqrt{1+\frac{1}{4}} \right) - (-20 \log_{10} 1) = -0,97 \text{ dB (1 oitava abaixo)} \quad (2.34)$$

As considerações em relação ao decaimento logarítmico quando se aumenta o intervalo de avaliação para ± 4 oitavas ou ± 1 década são idênticas, com a ressalva da inversão no sinal.

Amplitude

$$A(\omega) = 20 \log_{10} |1 + j\omega T| = 20 \log_{10} \left(\sqrt{1 + \omega^2 T^2} \right) \quad (2.35)$$

$$\text{para } \omega \ll \frac{1}{T} \implies A(\omega) = 20 \log_{10} 1 = 0 \text{ dB} \quad (2.36)$$

$$\text{para } \omega \gg \frac{1}{T} \implies A(\omega) = 20 \log_{10} \omega T \text{ dB} \quad (2.37)$$

As equações 2.36 e 2.37 são as *assíntotas* à curva real, dada pela eq. 2.35. Dois pontos são importantes na construção do diagrama de amplitude:

$$A \left(\omega = \frac{10}{T} \right) = 20 \log_{10} 10 = 20 \text{ dB} \quad (2.38)$$

$$A \left(\omega = \frac{1}{T} \right) = 20 \log_{10} 1 = 0 \text{ dB} \quad (2.39)$$

Conclui-se que, para $\omega \leq 1/T$, a amplitude vale 0 dB, ao passo que, para $\omega > 1/T$ a aproximação leva a uma reta com inclinação de 20 dB/década, ou 6 dB/oitava. O valor $\omega = 1/T$ é denominado *frequência de canto*, e representa o ponto a partir do qual a assíntota horizontal passa a inclinada.

Ângulo de fase

$$\phi(\omega) = \angle F(j\omega) = \angle(1 + j\omega T) \quad (2.40)$$

$$\phi(\omega) = \operatorname{tg}^{-1} \left(\frac{\omega T}{1} \right) \quad (2.41)$$

$$\text{para } \omega \ll \frac{1}{T} \implies \phi(\omega) = 0^\circ (0 \text{ rad}) \quad (2.42)$$

$$\text{para } \omega \gg \frac{1}{T} \implies \phi(\omega) = 90^\circ (\pi/2 \text{ rad}) \quad (2.43)$$

$$\text{para } \omega = \frac{1}{T} \implies \phi(\omega) = 45^\circ (\pi/4 \text{ rad}) \quad (2.44)$$

Erro em amplitude

Quando efetua-se a aproximação pelas assíntotas, eqs. 2.36 e 2.37, incorre-se em erro com relação ao valor que seria obtido caso a amplitude fosse calculada de acordo com a expressão exata, eq. 2.35. Em termos práticos, consideram-se os erros existentes no intervalo entre uma oitava acima e uma oitava abaixo da frequência de canto. Assim, subtraindo-se o valor aproximado do exato obtêm-se

$$\text{para } \epsilon(A(\omega)) \big|_{\omega=1/T} \implies \epsilon = 20 \log_{10} \left(\sqrt{1+1} \right) - 20 \log_{10} 1 = 3,03 \text{ dB (freq. de canto)} \quad (2.45)$$

$$\text{para } \epsilon(A(\omega)) \big|_{\omega=2/T} \implies \epsilon = 20 \log_{10} \left(\sqrt{1+4} \right) - 20 \log_{10} 2 = 0,97 \text{ dB (1 oitava acima)} \quad (2.46)$$

$$\text{para } \epsilon(A(\omega)) \big|_{\omega=1/2T} \implies \epsilon = 20 \log_{10} \left(\sqrt{1+\frac{1}{4}} \right) - 20 \log_{10} 1 = 0,97 \text{ dB (1 oitava abaixo)} \quad (2.47)$$

Observa-se que o erro é máximo na frequência de canto e simétrico em relação a ela nas duas direções. Um cálculo simples irá revelar que, para $\omega = 4/T$ (duas oitavas acima) ou $\omega = 1/4T$ (duas oitavas abaixo), o erro é de 0,26 dB, decaindo para 0,04 dB quando se avalia o intervalo de ± 1 década, que pode ser admitido desprezível.

O diagrama de Bode para as aproximações referentes a um fator de primeira ordem no numerador de $F(s)$ (o que representa um zero em $s = -1/T$) pode ser visto nas figuras. 3 (a) e (c).

Considera-se agora o fator de primeira ordem $\frac{1}{1+j\omega T}$. O desenvolvimento é totalmente análogo, levando a resultados que apresentam sinais invertidos em relação ao caso anterior.

Amplitude

$$A(\omega) = 20 \log_{10} \left| \frac{1}{1+j\omega T} \right| = -20 \log_{10} \left(\sqrt{1 + \omega^2 T^2} \right) \quad (2.48)$$

$$\text{para } \omega \ll \frac{1}{T} \implies A(\omega) = -20 \log_{10} 1 = 0 \text{ dB} \quad (2.49)$$

$$\text{para } \omega \gg \frac{1}{T} \implies A(\omega) = -20 \log_{10} \omega T \text{ dB} \quad (2.50)$$

As equações 2.49 e 2.50 são as *assíntotas* à curva real, dada pela eq. 2.48. Neste caso, os dois pontos para a construção do diagrama de amplitude são:

$$A \left(\omega = \frac{10}{T} \right) = -20 \log_{10} 10 = -20 \text{ dB} \quad (2.51)$$

$$A \left(\omega = \frac{1}{T} \right) = -20 \log_{10} 1 = 0 \text{ dB} \quad (2.52)$$

Conclui-se que, para $\omega \leq 1/T$, a amplitude vale 0 dB, ao passo que, para $\omega > 1/T$ obtém-se uma reta com inclinação de -20 dB/década, ou -6 dB/oitava. Novamente, denomina-se $\omega = 1/T$ como frequência de canto.

Ângulo de fase

$$\phi(\omega) = \angle F(j\omega) = \angle (1 + j\omega T)^{-1} \quad (2.53)$$

$$\text{como } \frac{1}{1+j\omega T} = \frac{1(1-j\omega T)}{(1+j\omega T)(1-j\omega T)} = \frac{1}{1+\omega^2 T^2} - j \frac{\omega T}{1+\omega^2 T^2} \implies \quad (2.54)$$

$$\phi(\omega) = -\text{tg}^{-1} \left(\frac{\omega T}{1} \right) \quad (2.55)$$

$$\text{para } \omega \ll \frac{1}{T} \implies \phi(\omega) = 0^\circ (0 \text{ rad}) \quad (2.56)$$

$$\text{para } \omega \gg \frac{1}{T} \implies \phi(\omega) = -90^\circ (-\pi/2 \text{ rad}) \quad (2.57)$$

$$\text{para } \omega = \frac{1}{T} \implies \phi(\omega) = -45^\circ (-\pi/4 \text{ rad}) \quad (2.58)$$

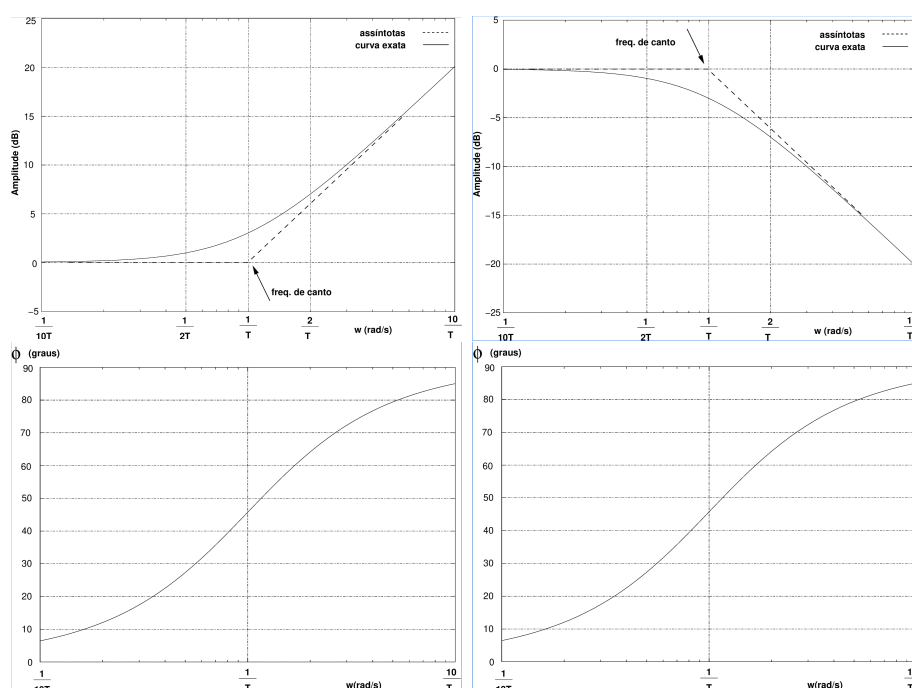


Figura 3: Diagramas de Bode: fatores de primeira ordem.

Erro em amplitude

$$\text{Para } \epsilon(A(\omega)) \big|_{\omega=1/T} \implies \epsilon = -20 \log_{10} \left(\sqrt{1+1} \right) - (-20 \log_{10} 1) = -3,03 \text{ dB (freq. de canto)} \quad (2.59)$$

$$\text{para } \epsilon(A(\omega)) \big|_{\omega=2/T} \implies \epsilon = -20 \log_{10} \left(\sqrt{1+4} \right) - (-20 \log_{10} 2) = -0,97 \text{ dB (1 oitava acima)} \quad (2.60)$$

$$\text{para } \epsilon(A(\omega)) \big|_{\omega=1/2T} \implies \epsilon = -20 \log_{10} \left(\sqrt{1+\frac{1}{4}} \right) - (-20 \log_{10} 1) = -0,97 \text{ dB (1 oitava abaixo)} \quad (2.61)$$

As considerações em relação ao decaimento logarítmico quando se aumenta o intervalo de avaliação para ± 4 oitavas ou ± 1 década são idênticas, com a ressalva da inversão no sinal.

O diagrama de Bode para as aproximações referentes a um fator de primeira ordem no denominador de $F(s)$ (o que representa um pólo em $s = -1/T$) pode ser visto nas figuras 3 (b) e (d).

2.3.4 Fatores de segunda ordem

Os fatores de 2ª ordem são genericamente expressos como

$$F(s) = \left[\frac{\omega_n^2}{s^2 + 2\zeta\omega_n s + \omega_n^2} \right]^{\pm 1} \quad (2.62)$$

Considerando-se o expoente 1 e fazendo-se $s = j\omega$, obtêm-se

$$F(j\omega) = \frac{\omega_n^2}{j^2\omega^2 + 2j\zeta\omega_n\omega + \omega_n^2} \quad (2.63)$$

Dividindo-se a equação precedente por ω_n^2 chega-se a

$$F(j\omega) = \frac{1}{j^2\left(\frac{\omega}{\omega_n}\right)^2 + 2\zeta\frac{\omega}{\omega_n}j + 1} = \frac{1}{1 + 2\zeta\frac{\omega}{\omega_n}j + \left(\frac{\omega}{\omega_n}j\right)^2}, \quad (2.64)$$

que é a forma padrão de um sistema de segunda ordem. Observe que, quando $\zeta > 1$, o denominador pode ser escrito como o produto de dois fatores de primeira ordem com *pólos reais* (caso o expoente da eq. 2.62 seja -1, tem-se o produto de dois fatores de primeira ordem com *zeros reais*).

Por outro lado, quando $0 \leq \zeta < 1$, o termo quadrático é o produto de dois fatores com raízes complexas conjugadas.

Amplitude

As equações 2.6 e 2.2 aplicadas à eq. 2.64 fornecem:

$$A(F(j\omega)) = 20 \log_{10} \left| \frac{1}{1 + 2\zeta\left(\frac{\omega}{\omega_n}j\right) + \left(\frac{\omega}{\omega_n}j\right)^2} \right| \Rightarrow \quad (2.65)$$

$$A(\omega) = -20 \log_{10} \left| 1 + 2\zeta\left(\frac{\omega}{\omega_n}j\right) + \left(\frac{\omega}{\omega_n}j\right)^2 \right| \Rightarrow \quad (2.66)$$

$$A(\omega) = -20 \log_{10} \sqrt{\left(1 - \left[\frac{\omega}{\omega_n}\right]^2\right)^2 + 4\zeta^2\left(\frac{\omega}{\omega_n}\right)^2} \quad (2.67)$$

$$A(\omega) = -20 \log_{10} \sqrt{1 - 2\left[\frac{\omega}{\omega_n}\right]^2 + \left[\frac{\omega}{\omega_n}\right]^4 + 4\zeta^2\left[\frac{\omega}{\omega_n}\right]^2} \quad (2.68)$$

Para $\omega \ll \omega_n$,

$$\Rightarrow A(\omega) = -20 \log_{10} 1 = 0 \text{ dB} - \text{assíntota das baixas frequências} \quad (2.69)$$

$$\text{para } \omega \gg \omega_n \Rightarrow A(\omega) = -20 \log_{10} \sqrt{\left(\frac{\omega}{\omega_n}\right)^4} \Rightarrow \quad (2.70)$$

$$A(\omega) = -40 \log_{10} \frac{\omega}{\omega_n} \text{ dB} - \text{assíntota das altas frequências} \quad (2.71)$$

Nota-se que a amplitude da resposta é função tanto de um fator externo, qual seja, a frequência do sinal de entrada, quanto de um fator “interno”, o coeficiente de amortecimento ζ , característico do sistema dinâmico. As curvas de amplitude refletem essa dependência, como pode ser visto no gráfico da fig. 4 (a). Neste diagrama, alguns pontos notáveis são:

$$\text{para } \omega = 0 \text{ rad/s} \Rightarrow A(\omega) = 0 \text{ dB}$$

$$\text{para } \omega = \omega_n \text{ rad/s} \Rightarrow A(\omega) = -40 \log_{10} 1 = 0 \text{ dB} \text{ pela eq. 2.70}$$

$$\text{para } \omega = 10\omega_n \text{ rad/s} \Rightarrow A(\omega) = -40 \log_{10} 10 = -40 \text{ dB} \text{ pela eq. 2.70}$$

A última equação mostra que a assíntota das altas frequências possui gradiente -40 dB/década, fato que será amplamente utilizado na construção do esboço do Diagrama de Bode. Como mencionado anteriormente, a amplitude é função da frequência de excitação e do coeficiente de amortecimento. Fixado um valor de ζ , obtém-se a curva correspondente de amplitude. Quando a frequência do sinal de entrada iguala-se à frequência natural do sistema, a eq. 2.65 fica,

$$A(F(j\omega)) = A(F(j\omega_n)) = 20 \log_{10} \left| \frac{1}{1 + j2\zeta - 1} \right| = 20 \log_{10} \left| \frac{1}{j2\zeta} \right| \quad (2.72)$$

fazendo com que, dessa forma, o denominador atinja um mínimo e, conseqüentemente, ocorra um pico de amplitude, cujo valor é inversamente proporcional ao valor de ζ . A frequência ω_n é a frequência de canto para o fator quadrático.

Ângulo de fase

Considera-se a função

$$F(s = j\omega) = \frac{1}{1 + 2\zeta\left(\frac{\omega}{\omega_n}j\right) + \left(\frac{\omega}{\omega_n}j\right)^2} = \quad (2.73)$$

$$\frac{1}{1 - \left(\frac{\omega}{\omega_n}\right)^2 + 2\zeta\left(\frac{\omega}{\omega_n}\right)j} = \quad (2.74)$$

$$\frac{1}{1 - \left(\frac{\omega}{\omega_n}\right)^2 + 2\zeta\left(\frac{\omega}{\omega_n}\right)j} \left[\frac{1 - \left(\frac{\omega}{\omega_n}\right)^2 - 2\zeta\left(\frac{\omega}{\omega_n}\right)j}{1 - \left(\frac{\omega}{\omega_n}\right)^2 - 2\zeta\left(\frac{\omega}{\omega_n}\right)j} \right] \quad (2.75)$$

$$= \frac{1 - \left(\frac{\omega}{\omega_n}\right)^2 - 2\zeta\left(\frac{\omega}{\omega_n}\right)j}{\left[1 - \left(\frac{\omega}{\omega_n}\right)^2\right]^2 - 4\zeta^2\left(\frac{\omega}{\omega_n}\right)^2} \quad (2.76)$$

Portanto,

$$\text{tg}\phi(\omega) = \frac{-2\zeta\left(\frac{\omega}{\omega_n}\right)}{1 - \left(\frac{\omega}{\omega_n}\right)^2} \implies -\text{tg}\phi(\omega) = \frac{2\zeta\left(\frac{\omega}{\omega_n}\right)}{1 - \left(\frac{\omega}{\omega_n}\right)^2}, \quad (2.77)$$

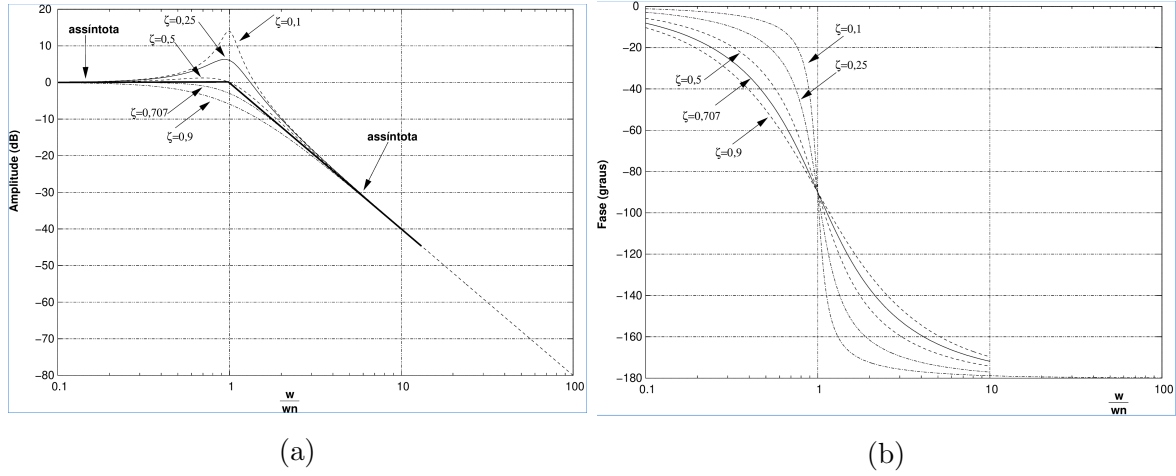


Figura 4: Diagramas de Bode: fatores de 2a. ordem.

que, tal qual a amplitude, depende de ω e ζ . Assim,

$$\text{para } \omega \ll \omega_n \Rightarrow -tg\phi(\omega) = 0 \Rightarrow \phi(\omega) = 0^\circ \text{ (0 rad)} \quad (2.78)$$

$$\text{para } \omega \gg \omega_n \Rightarrow -tg\phi(\omega) = 0^- \Rightarrow \phi(\omega) = -180^\circ \text{ (-}\pi \text{ rad)} \quad (2.79)$$

$$\text{para } \omega = \omega_n \Rightarrow -tg\phi(\omega) = -\frac{2\zeta}{0} \Rightarrow \phi(\omega) = -90^\circ \text{ (-}\pi/2 \text{ rad)} \quad (2.80)$$

O comportamento do ângulo de fase para fatores de segunda ordem é visto no gráfico da fig. 4 (b).

RESSONÂNCIA

Já foi observado que a amplitude da resposta é função tanto da frequência natural do sistema quanto do seu coeficiente de amortecimento. O gráfico de amplitude, no diagrama de Bode, indica que existe um valor de ζ que delimita a ocorrência ou não de um pico, com $\omega \cong \omega_n$.

Quando $|F(j\omega)|$ apresentar um pico, a frequência correspondente será denominada *frequência de ressonância*, ω_r . Matematicamente, um pico de amplitude implica a ocorrência de um mínimo no denominador da eq. 2.82 abaixo,

$$|F(j\omega)| = \left| \frac{1}{1 + 2\zeta\left(\frac{\omega}{\omega_n}j\right) + \left(\frac{\omega}{\omega_n}j\right)^2} \right| \quad (2.81)$$

$$|F(j\omega)| = \frac{1}{\sqrt{\left[1 - \left(\frac{\omega}{\omega_n}\right)^2\right]^2 + \left[2\zeta\frac{\omega}{\omega_n}\right]^2}} \quad (2.82)$$

Para achar o mínimo no denominador, faz-se

$$\begin{aligned} \frac{d}{d\omega} \left(\left[1 - \frac{\omega}{\omega_n} \right]^2 + 4\zeta^2 \frac{\omega^2}{\omega_n^2} \right) &= 0 \Rightarrow \\ \frac{d}{d\omega} \left(\left[\frac{\omega_n^2 - \omega^2}{\omega_n^2} \right]^2 + 4\zeta^2 \frac{\omega^2}{\omega_n^2} \right) &= 0 \Rightarrow \\ \frac{d}{d\omega} \left(\frac{\omega_n^4 - 2\omega_n^2\omega^2 + \omega^4}{\omega_n^4} + 4\zeta^2 \frac{\omega^2}{\omega_n^2} \right) &= 0 \Rightarrow \\ \frac{d}{d\omega} \left(\frac{\omega_n^4 + \omega^4 - 2\omega^2\omega_n^2(1 - 2\zeta^2)}{\omega_n^4} \right) &= 0 \Rightarrow \\ \frac{d}{d\omega} \left(1 + \left(\frac{\omega}{\omega_n} \right)^4 - 2 \left(\frac{\omega}{\omega_n} \right)^2 (1 - 2\zeta^2) \right) &= 0 \Rightarrow \\ 0 + 4 \frac{\omega^3}{\omega_n^4} - 4 \frac{\omega}{\omega_n^2} (1 - 2\zeta^2) &= 0 \Rightarrow \\ 4\omega \left(\frac{\omega^2}{\omega_n^4} - \frac{1 - 2\zeta^2}{\omega_n^2} \right) &= 0 \Rightarrow \\ \frac{\omega^2}{\omega_n^4} = \frac{1 - 2\zeta^2}{\omega_n^2} \Rightarrow \omega^2 &= \omega_n^2 (1 - 2\zeta^2) \end{aligned}$$

Assim, o valor de ω que minimiza o denominador da eq. 2.82 é a frequência de ressonância

$$\omega_r = \omega_n \sqrt{1 - 2\zeta^2} \quad (2.83)$$

Com respeito à eq. 2.83, os seguintes pontos podem ser destacados:

- em sistemas cujo amortecimento é nulo ou muito pequeno, a frequência de ressonância ω_r tende à frequência natural, ω_n ;
- quando o radical se anula, não há pico de ressonância. O valor de ζ que torna o radical nulo é $\zeta = 0,707$;
- para $0 < \zeta \leq 0,707$, a frequência de ressonância ω_r é inferior à frequência natural amortecida, $\omega_d = \omega_n \sqrt{1 - \zeta^2}$, e a resposta ao degrau é oscilatória;
- para $\zeta \rightarrow 0$, a frequência de ressonância tende à frequência natural;

- quando $\zeta > 0,707$, não há pico de ressonância. Sabe-se, que para $0,707 \leq \zeta \leq 1$, o sistema é amortecido porém ainda sujeito a oscilações, quando solicitado ao degrau. Porém as oscilações decaem rapidamente.

O valor de pico na ressonância, M_r , pode ser encontrado substituindo-se a eq. 2.83 na eq. 2.82, que conduz a

$$M_r = |F(j\omega)| = |F(j\omega_r)| = \frac{1}{2\zeta\sqrt{1-\zeta^2}} \quad (2.84)$$

A equação 2.84 indica que, à medida que ζ tende a zero, a amplitude tende ao infinito, ou seja, um sistema não amortecido, quando sujeito a vibrações na sua frequência natural, tende a oscilar com amplitudes cada vez maiores. Além disso, sistemas fracamente amortecidos, quando excitados em frequência próximas à frequência de ressonância, tendem a apresentar maiores amplitudes de oscilação.

As características de resposta apresentadas acima permitem a obtenção de esboços do diagrama de Bode para funções genéricas, desde que devidamente decompostas em termos de ordem inferior.

3 Estabilidade relativa utilizando diagramas de Bode

A estabilidade relativa de um sistema é determinada com base na suas margens de ganho e fase, definidas como se segue.

- **Margem de ganho:** qualitativamente, determina a proximidade (ou não) do lugar das raízes com o eixo imaginário, ou seja, quando o ganho é tal que os polos passam para o semiplano direito do plano complexo, tornando o sistema instável.
- **Margem de fase:** corresponde à diferença entre o ângulo de fase da FTMA e -180° .

A fig. 5 mostra as margens de ganho e fase nos diagramas de Bode, com suas respectivas frequências de interesse.

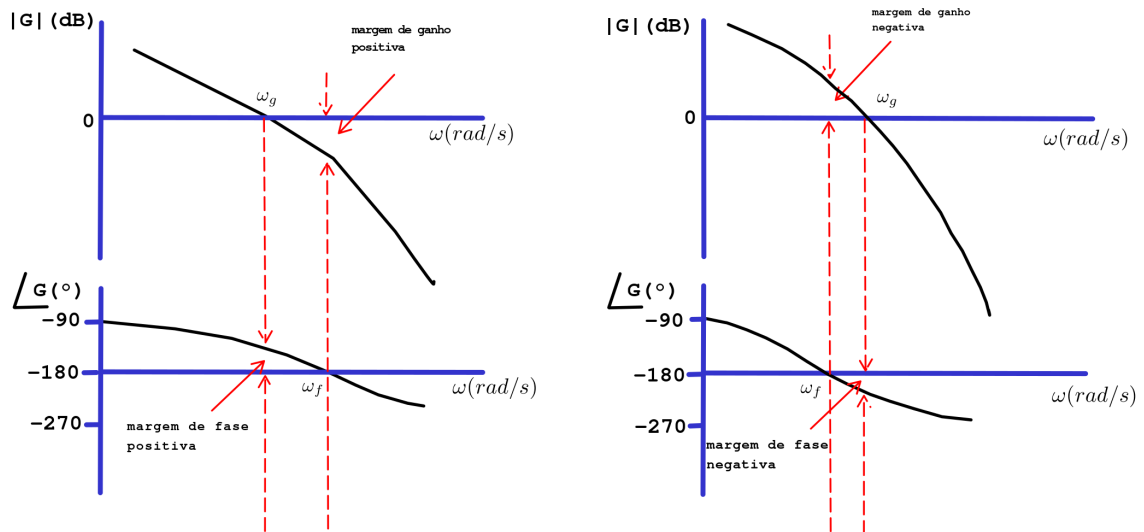


Figura 5: Margens de ganho e fase.